

鹿児島工專

正員 ○村田秀一

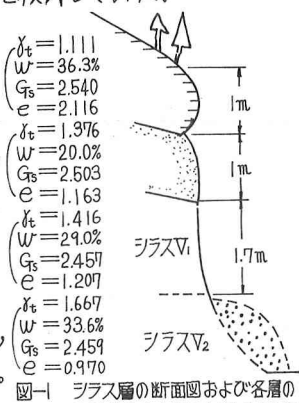
九州大学工学部

正員 山内豊勝

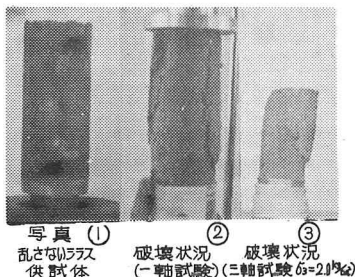
1.はじめに

著者等はさきに比較的盆地乱さないシラス供試体を用いて、その引張り強さに着目して乱さないシラス供試体のせん断強度について報告した。その結果、乱さないシラス供試体のように堆積効果を持つ材料には岩石力学的採取扱いが必要であった。しかしながら、ゆるい状態で堆積している乱さないシラス層について同じ考え方を適用出来るかどうか問題である。その後、ゆるく堆積しているシラス層より乱さないシラス供試体を採取して、自然含水比の状態で引張り試験、一軸および三軸圧縮試験を行った。本文では、その試験結果と破壊規律として修正Griffith理論を検討してみた。

2. 供試体および試験方法 試験に用いたシラスは鹿児島県姶良郡隼人町で採取したもので国分層群と考えられる。採取現場は図-1-1に示すように表層として2層、その下に密度の異なる2層のシラス層が堆積している山であるが、シラス層には層理はみられない。以下E=1.207の層より採取した供試体を供試体V₁、E=0.970の層よりものを供試体V₂とする。供試体の採取は内径4.8cm、高さ13.5cmの真チュークサンプラーを徐々に鉛直方向に押レ込んで行った。各々の粒度分布はシラスV₁で砂分14%，砂分58%，シルト分19%，粘土分9%；シラスV₂で14%，63%，20%，3%であった。また、図-1-1に各々の土層の指標的性質を示した。



これらの供試体を用いて自然含水状態で、圧裂引張り試験（直径5cm）、一軸圧縮試験および三軸圧縮試験（CD試験とCU試験）を行った。圧縮用供試体の直径は4.8cm、高さは約11cmである。また三軸試験は拘束圧を1.0~4.0kg/cm²の範囲にとり、拘束圧による圧密の終了後圧縮速度を供試体の高さの1.2%/minとして行った。圧裂試験より求められる引張り強さ係数は周知の次式で求めた。 $\beta_t = 2P/\pi \cdot d \cdot l$ (kg/cm²) ここに、P；加えられた全荷重、d；円板の直径、l；円板の厚みである。



3. 試験結果および考察 圧裂引張り試験結果を図-2に示す。

図中の値は、円板供試体の中心線上に沿ってキレツを生じた時を破壊とみなした結果である。前報によると、 $l/d = 0.5$ のとき、 β_t と一軸引張り強さは等しいので今回も $l/d = 0.5$ の平均値から供試体V₁の引張り強さを0.044 kg/cm²、供試体V₂を0.063 kg/cm²と推定してよいと思われる。この値はかなり小さいが、鹿児島市坂元町における原位置引張り試験に

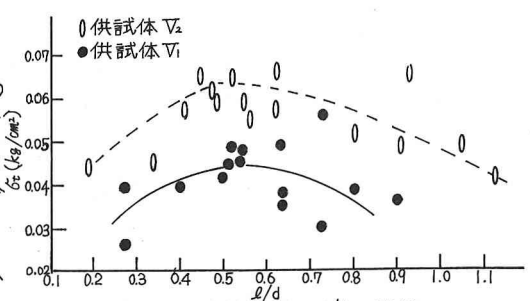


図-2 圧裂引張り強さ係数とl/dの関係

よりの値とはほぼ等しい。また、この引張り強さを知ることが乱さないシラスの持つ密結効果の程度を決める一つの方法ではないかと考える。一軸引張り試験は供試体がひびきゆるいため、現在の試験機では行えないが、た。一軸圧縮試験時の破壊様相は供試体の鉛直方向に1~2本のクラックを生じて剝離するタイプ(写真-2)とある破壊角度でせん断されるタイプに分けられる。現在の所、この2つのタイプ支配的原因は明確でない。一軸圧縮強さは供試体V₁で 0.33 kg/cm^2 ($E_f=3.2\%$)、供試体V₂で 0.76 kg/cm^2 ($E_f=1.9\%$)である。また、各々の変形係数 E_{50} は 11 kg/cm^2 および 63 kg/cm^2 で前回報告した値より著しく小さくなる。実際に観察される破壊様相もせい性的であるとはいひ難い。三軸圧縮試験における変形の状態は写真-3で示すようにヒズミが進行するに従ってせん断面が徐々に明確に現われる。また、CUおよびCD試験とも最大軸差応力($\sigma_1 - \sigma_3$)_fと終局せん断強さ($\sigma_1 - \sigma_3$)_uとの差が著しく大きい。図-3は自然含水状態のMöhrの円に対する包絡線を示す。

供試体V₂では σ_3 が $1 \sim 4 \text{ kg/cm}^2$ の範囲内では排水せん断強さが大きい。これはCD試験において、圧密あるいはせん断中に構造変化と起し体積が減少しCD試験によるせん断強さが大きくなり、ダイレタンシーは負にならなければならぬシラス供試体のときと同様に大きい。したがつて、引張り強さの影響をかなり受けていると考えられる。供試体V₂は非排水強さが大きくダイレタンシーは正である。

春山は、この程度の乱さないシラス供試体は圧密中に構造変化を起すので($\sigma_1 - \sigma_3$)_fは密結効果を含まずインターロッキングによるものとしている。密結効果とインターロッキングによる強さ成分を分けるのはゆるい供試体においては困難であるが、密結効果の影響でせい性材料によると思われる所以この限界点を追求してみたい。先に、密な供試体の破壊規則として、修正Griffith理論が適用できると報告した。つまり、次式において： $\mu_4(\sigma_1 + \sigma_3 - 2\sigma_0) - (\sigma_1 - \sigma_3)\sqrt{1 + \mu_4^2} = -4S_t\sqrt{1 - \sigma_0/S_t}$, $\mu_4 = 1$, $\sigma_0 = 0 \sim S_t$ の条件と一致した。供試体V₁, V₂の三軸試験結果を図-4(a)(b)に示す。これによると、 $\sigma_0 = 0$, $\mu_4 = 0.7 \sim 1.0$ の直線によく一致する。 μ_4 つまり、潜在的なクラック面での摩擦係数に支配される。また、 μ_4 の値は各々の試験から求められる直線に近似しているようである。このことは密な状態の乱さない供試体は σ_0 つまり潜在的なクラックを開じさせるに必要な応力であるから粒子間の引張り強さに支配されたのに比べ、ゆるくなると、その及ぼす影響が引張り強さのせん断強さに及ぼす影響よりも入である。

参考文献：①村田・山内：引張り強さと持つ乱さないシラス供試体のせい性破壊について、第3回国際力学国内シンポジウム、講演集、1970
②春山元寿：乱さないシラスの排水せん断特性について、土木学会西部支部研究発表会論文集、BB-45.2.

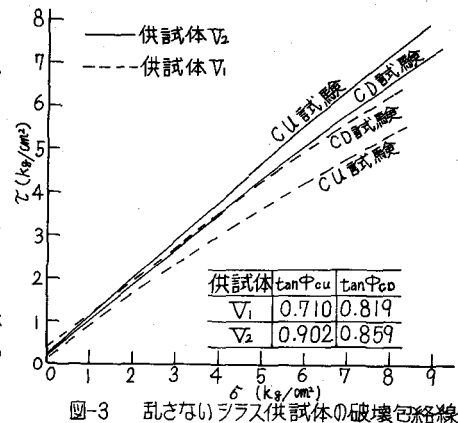


図-3 亂さないシラス供試体の破壊包絡線

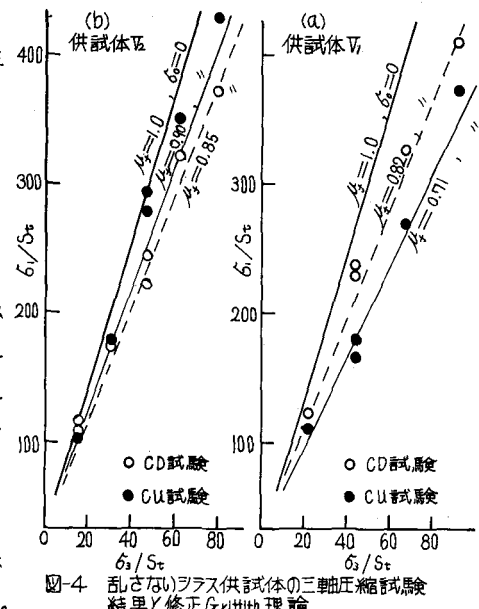


図-4 亂さないシラス供試体の三軸圧縮試験結果と修正Griffith理論